

九州大学 正員 椿東一郎

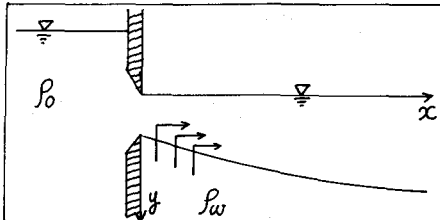
" 正員 小松利光

" 学生員 井上 美公

1. まえがき この報告は、密度差を有する静止流体上へ水平方向に流体が噴出する密度噴流について考察したものである。理論面では、Goertlerの二次元噴流の理論を擾動法により密度差を有する場合に拡張した。

2. 理論 座標系を右図のように定義し、噴出する流体の密度を $\rho_0$ 、静止流体の密度を $\rho_w$ とすれば、運動方程式は次のようになります。

$$U \frac{\partial U}{\partial X} + V \frac{\partial U}{\partial Y} = \frac{1}{\rho} \frac{\partial P}{\partial Y} - \frac{1}{\rho} \frac{\partial P}{\partial X} \quad (1) \quad \frac{\partial P}{\partial X} = \rho g_0 \quad (2) \quad T = \rho E \frac{\partial U}{\partial Y} \quad (3)$$



体積及び質量欠損の保存式は、 $E_{max}$ を擾動粘性係数として

$$\frac{\partial U}{\partial X} + \frac{\partial V}{\partial Y} = 0 \quad (4) \quad U \frac{\partial}{\partial X} (\rho_w - \rho) + V \frac{\partial}{\partial Y} (\rho_w - \rho) = \frac{\partial}{\partial Y} \left\{ E_{max} \frac{\partial (\rho_w - \rho)}{\partial Y} \right\} \quad (5)$$

(1), (2)式から圧力 $P$ を消去し、(4)の表示として(3)式を用いると、

$$U \frac{\partial^2 U}{\partial X \partial Y} + V \frac{\partial^2 U}{\partial Y^2} = \frac{1}{\rho} \frac{\partial^2}{\partial Y^2} (\rho g_0 \frac{\partial U}{\partial Y}) + \frac{g_0}{\rho} \frac{\partial}{\partial X} (\rho_w - \rho) \quad (6)$$

次に、連続の式から流れ関数を定義すると、 $U = \frac{\partial \Phi}{\partial Y}, V = -\frac{\partial \Phi}{\partial X}$  (7)

(7)式を(5)(6)式へ代入することによって、

$$\frac{\partial \Phi}{\partial Y} \frac{\partial^2 \Phi}{\partial X \partial Y^2} - \frac{\partial \Phi}{\partial X} \frac{\partial^2 \Phi}{\partial Y^3} = \varepsilon \frac{\partial^2 \Phi}{\partial Y^4} + \frac{g_0}{\rho} \frac{\partial}{\partial X} (\rho_w - \rho) \quad (8) \quad \frac{\partial \Phi}{\partial Y} \frac{\partial (\rho_w - \rho)}{\partial X} - \frac{\partial \Phi}{\partial X} \frac{\partial (\rho_w - \rho)}{\partial Y} = E_{max} \frac{\partial^2}{\partial Y^2} (\rho_w - \rho) \quad (9)$$

homogeneousな場合に Goertler は Planert の第二級説より、 $\varepsilon = \frac{4}{\pi} b U_{max}$  (10) とあり、噴出源からある距離 $X=S$ での軸上最大流速を $U_S$ 、幅を $b_S$ とすれば、 $\Phi, b, \varepsilon$  はそれぞれ次のように示される。

$$\Phi(X, Y) = b_S U_S \left(\frac{X}{S}\right)^{\frac{1}{2}} \psi(\eta) \quad b(x) = b_S \left(\frac{x}{S}\right) \quad \eta = \frac{y}{b}$$

ここでは浮力の効果を取り入れ、しかも(10), (11)式の関係を満足させるために、 $\Phi(X, Y)$ を次のように展開する。

$$\Phi(X, Y) = b_S U_S \left(\frac{X}{S}\right)^{\frac{1}{2}} \left\{ \psi_0(\eta) + (dx)^n \psi_1(\eta) + (dx)^{2n} \psi_2(\eta) + (dx)^{3n} \psi_3(\eta) + \dots \right\} \quad (11)$$

密度の分布についても同様に

$$\frac{\rho_w - \rho}{\rho_w - \rho_{min}(x)} = m(\eta) \quad (12)$$

$$\text{従って } \rho_w - \rho = \rho_{min}(x) \left(\frac{\rho_w - \rho_{min}(x)}{\rho_w - \rho}\right)^{\frac{1}{2}} \left\{ m_0(\eta) + (dx)^n m_1(\eta) + (dx)^{2n} m_2(\eta) + (dx)^{3n} m_3(\eta) + \dots \right\} \quad (13)$$

(11), (13)式を基礎式へ代入して、 $(dx)^n$ の各ベキについて整理する。ここで、境界条件を考えると、 $Y=0$ で $V=0, U=U_{max}, \frac{\partial U}{\partial Y}=0, \rho_w - \rho = \rho_d, \frac{\partial(\rho_w - \rho)}{\partial Y}=0$  また、 $Y=\infty$ で $U=0, \frac{\partial U}{\partial Y}=0, \rho_w - \rho = 0, \frac{\partial(\rho_w - \rho)}{\partial Y}=0$

従って、 $\eta=0$ で $\psi_0=\psi_1=\psi_2=0, \psi'_0=1, \psi''_0=\psi''_1=\psi''_2=0, m_0=1, m_1=m_2=m_3=0$  また、 $\eta=\infty$ で $\psi'_0=\psi'_1=\psi'_2=0, \psi''_0=\psi''_1=\psi''_2=0, m_0=m_1=m_2=m_3=0$

homogeneousな場合に、Goertlerの解 $\psi_0(\eta)=\tanh \eta$ をもつために $b_S=4\sqrt{S}$ と定義し、 $(dx)^n$ についてまとめた方程式の両辺を比較することによって $n=\frac{3}{2}$ としてその値を代入する。

ここで、擾動粘性係数と擾動粘性係数 $E_{max}$ との比を1とおいて、境界条件を満足すれば

$$(dx)^n \left\{ \begin{array}{l} \psi'_0 = \tanh \eta \\ m_0 = \frac{1}{\cosh^2 \eta} \end{array} \right.$$

$$\begin{cases} (\alpha x)^m \\ (\alpha x)^m \end{cases} \left\{ \begin{array}{l} \psi_1''' + \psi_1(0) \psi_1'' + 8 \psi_1' \psi_1'' + 2 \psi_1'' \psi_1 - 2 \psi_1' \psi_1' - 4 \eta m_0 - 2 \int_{\eta}^{\infty} m_0 d\eta = 0 \\ m_0'' + \psi_1(0) m_0'' - 4 \psi_1' m_0 + 2 \psi_1' m_0 + 8 \psi_1 m_0 + 2 \psi_1 m_0' = 0 \\ \psi_2''' + \psi_2(0) \psi_2'' + \psi_2(0) \psi_2'' - 8 \psi_2' \psi_2' + 14 \psi_2'' \psi_2 + 2 \psi_2 \psi_2'' + 8 \psi_2' \psi_2'' - 4 \psi_2^2 - 4 \eta m_1 - 8 \int_{\eta}^{\infty} m_1 d\eta = 0 \\ m_1'' + \psi_2(0) m_1'' + \psi_2(0) m_1'' - 10 \psi_2' m_1 - 4 \psi_2' m_1 + 2 \psi_2' m_1 + 14 \psi_2' m_1 + 8 \psi_2' m_1 + 22 \psi_2' m_1 = 0 \end{array} \right.$$

ここで、 $(dx)^m$ ,  $(dx)^m$  の各べきの方程式の数値積分を施すことによって  $\psi_1(\eta)$ ,  $\psi_2(\eta)$ ,  $m_0(\eta)$ ,  $m_1(\eta)$ ,  $m_2(\eta)$  が得られる。これを図に示したもののが右図である。

また、 $S$ ,  $b_s$ ,  $U_0$ ,  $P_w$  は次のようにして求める。

$x=S$ における全運動量は、 $S$ 地表が噴出口に近く密度勾配にもとづく  $x$  方向の圧力勾配が無視できるとき、

$$P_w h_0 U_0^2 = \int_0^{\infty} \rho u^2 dy = \rho U_0^2 \int_0^{\infty} \left(\frac{x}{S}\right)^{-1} \psi_0^2 dy \\ = \rho U_0^2 \frac{S}{b_s} \int_0^{\infty} \psi_0^2 dy \quad (\text{ここで } b_s = \frac{L_s}{S})$$

$$\text{中心軸上 } x=S \text{ で } U_0 = U_0 \text{ とする距離 } S \text{ を求めると } S = \frac{3}{2} \cdot \frac{1}{\rho} \cdot h_0$$

$$\text{質量不換の保持則より } (P_w - P_0) h_0 U_0 = \int_0^{\infty} (P_w - P) u dy \quad \text{これを解いて, } x=S \text{ で } U_0 = U_0 \text{ 従って } P_w = P_0 - \rho_0 g S$$

3. 解析 今まで述べてきた理論を基に、噴出口より 30cm における流速分布、濃度分布を計算したものが下図である。尚、算出するための条件として、噴出口の幅を 0.40cm、噴出口における流速を 20.0 cm/sec、静止流体の密度  $\rho_0$  と噴出する流体の密度  $\rho_1$  との差を 0.004 とした。この図からも判断できるように  $(dx)^m$  のべきまで考えた数値は、 $(dx)^0$ だけを考えたものよりも小さな値を示している。またこの理論値によれば  $x=30cm$  では、 $y=11.7cm$  以下において流速は負値となり、二次元噴流の実験においてよく見られる逆流現象をよく現わしている。

4. あとがき 異なる者は現在、実験を行い理論値との比較を行っているが、出口上端と下流水表面とが等しい表面噴流の場合であるので、Goertler の噴流理論における拘束係数  $\alpha = \frac{1}{\pi R}$  が妥当な値であるか疑問であり、表面噴流に適応した  $\alpha$  の値を考察している。また、その値を代入し実験値と比較すれば期待した結果が得られるだろう。

参考文献 1) Schlichting : Boundary-Layer-Theory, McGraw-Hill

2) 吉川・池田・川村：躍層面へ噴出する二次元 Jet, 第19回水理講演会論文集 (1975)